ЖУРНАЛ СТРУКТУРНОЙ ХИМИИ

2019. Том 60, № 8 *Август* *DOI: 10.26902/JSC_id44180*

ДОПОЛНИТЕЛЬНЫЕ МАТЕРИАЛЫ К СТАТЬЕ

Д.Б. Васильченко[1,2], П.А. Топчиян[1,2], С.В. Ткачев[1], И.А. Байдина[1], И.В. Корольков[1], Е.Ю. Филатов[1,2], Д.Г. Шевень[1]

[1]*Институт неорганической химии им. А.В. Николаева СО РАН, Новосибирск, Россия*
E-mail: vasilchenko@niic.nsc.ru
[2]*Новосибирский государственный университет, Новосибирск, Россия*

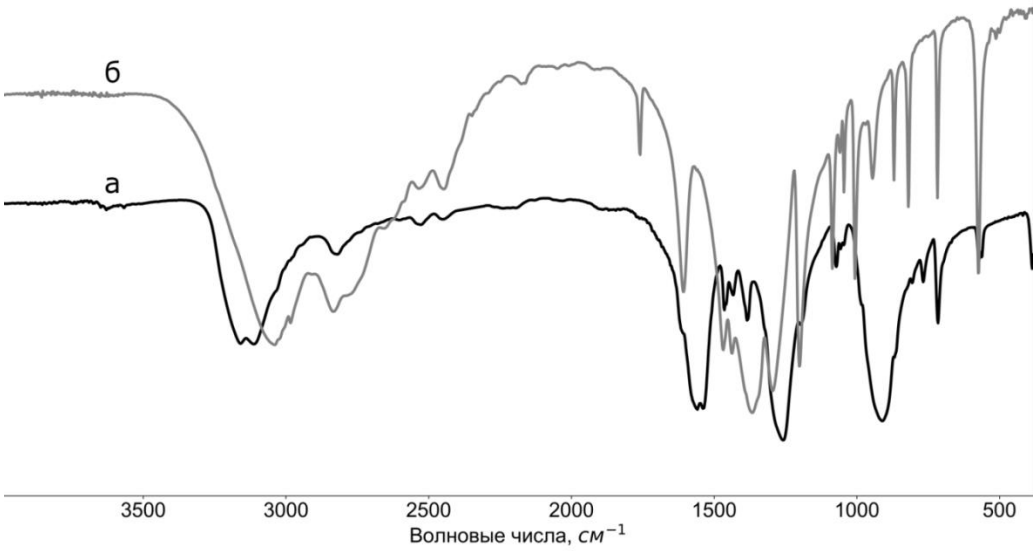


Рисунок 1S. ИК-спектры соли ($C_4N_2H_{12}$)[$Pt(NO_3)_6$] (а) и динитрата пиперазиния (б).

© Васильченко Д.Б., Топчиян П.А., Ткачев С.В., Байдина И.А., Корольков И.В., Филатов Е.Ю., Шевень Д.Г., 2019

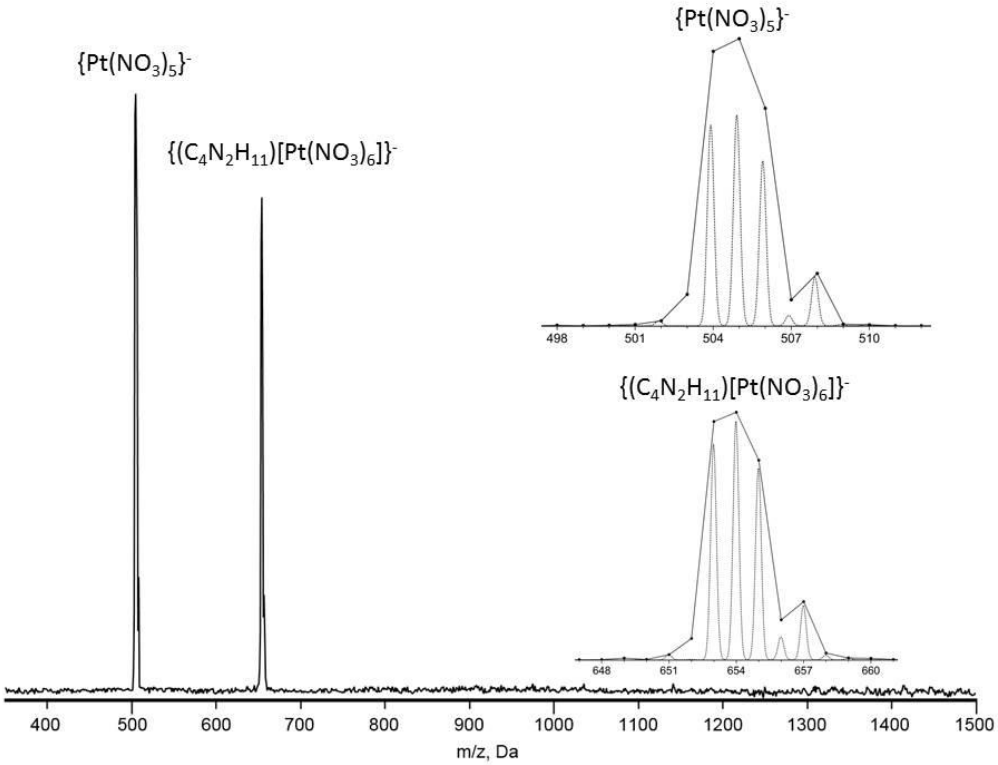


Рисунок 2S. Электроспрей масс-спектр раствора соли $(C_4N_2H_{12})[Pt(NO_3)_6]$ в ацетонитриле (негативная мода). На вставках в увеличенном размере показаны сигналы соответствующие частицам $\{(C_4N_2H_{11})[Pt(NO_3)_6]\}^-$ и $[Pt(NO_3)_6]^-$, и теоретические изотопные распределения (пунктирные серые линии).

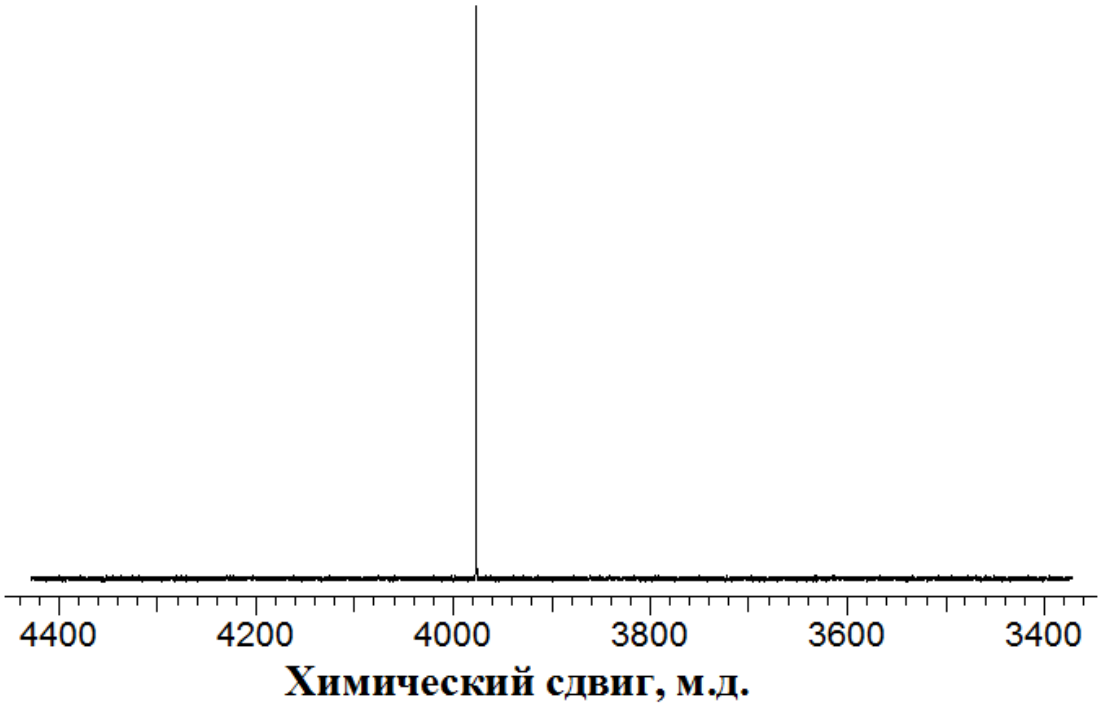


Рисунок 3S. ^{195}Pt ЯМР спектр раствора соли $(C_4N_2H_{12})[Pt(NO_3)_6]$ в ацетоне.